УДК 58.01.035

БИОХИМИЯ

В. А. СИНЕЩЕКОВ, В. В. ШУБИН, Ф. Ф. ЛИТВИН

ДОКАЗАТЕЛЬСТВО СУЩЕСТВОВАНИЯ МНОГИХ ИЗЛУЧАЮЩИХ И ЭНЕРГЕТИЧЕСКИ ВЗАИМОСВЯЗАННЫХ НАТИВНЫХ ФОРМ ХЛОРОФИЛЛА МЕТОДОМ СЕЛЕКТИВНОГО ВОЗБУЖДЕНИЯ И ИЗМЕРЕНИЯ ФЛУОРЕСЦЕНЦИИ

(Представлено академиком А. И. Опариным 22 II 1973)

Исследование структуры спектров флуоресценции и возбуждения фотосинтезирующих организмов (1-6) и, в особенности, производных спектров (7) позволяет считать (4,7), что в люминесценции участвует целая система нативных форм хлорофилла а, между которыми происходит эффективный обмен энергией. Однако для окончательного доказательства этого положения и для расчетов коэффициентов миграции необходимо

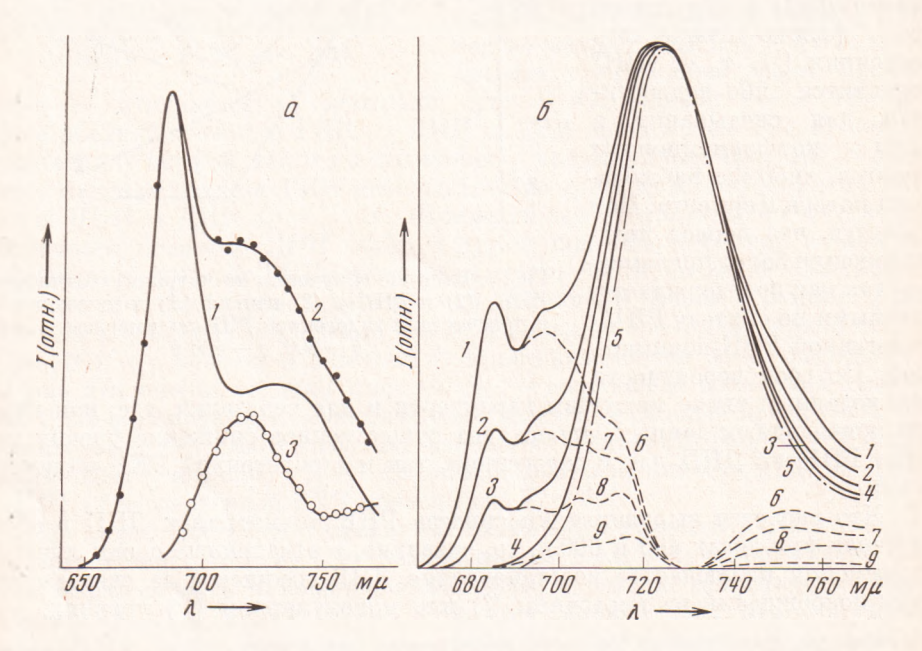


Рис. 1. Зависимость спектров флуоресценции хлореллы от длины волны возбуждающего света ($\lambda_{\text{Возб}}$). a — измерение при 20°, I — $\lambda_{\text{Возб}}$ = 650 мµ, 2 — 695 мµ, 3 — разность спектров I и 2; 6 — измерение при —196°, I — $\lambda_{\text{Возб}}$ = 676 мµ, I — 683, I — 686, I — 694, I — 705 мµ, I — I

обеспечить возможность избирательного возбуждения и измерения флуоресценции каждой индивидуальной формы, т. е. измерять весь спектр флуоресценции при любой длине волны возбуждения. В данной работе это достигнуто путем снижения уровня рассеянного возбуждающего света (10-15%) от интенсивности флуоресценции, точность его вычитания 3-5%) за счет сужения щелей (1-3) мµ, использования прозрачных образцов и скрещенных поляроидов.

Исследования проводили при 20 и -196° на хлоропластах гороха и фасоли и на суспензии хлореллы и эвглены. Ниже будут представлены в основном данные по хлорелле.

Зависимость спектра флуоресценции от длины волны возбуждающего света. а) При 20° и возбуждении в красной области до 660 мµ спектр флуоресценции с двумя основными полосами 686 и 740 мµ мало зависит от длины волны возбуждения (рис. 1a). В этих условиях излучает преимущественно один центр с двумя указан-

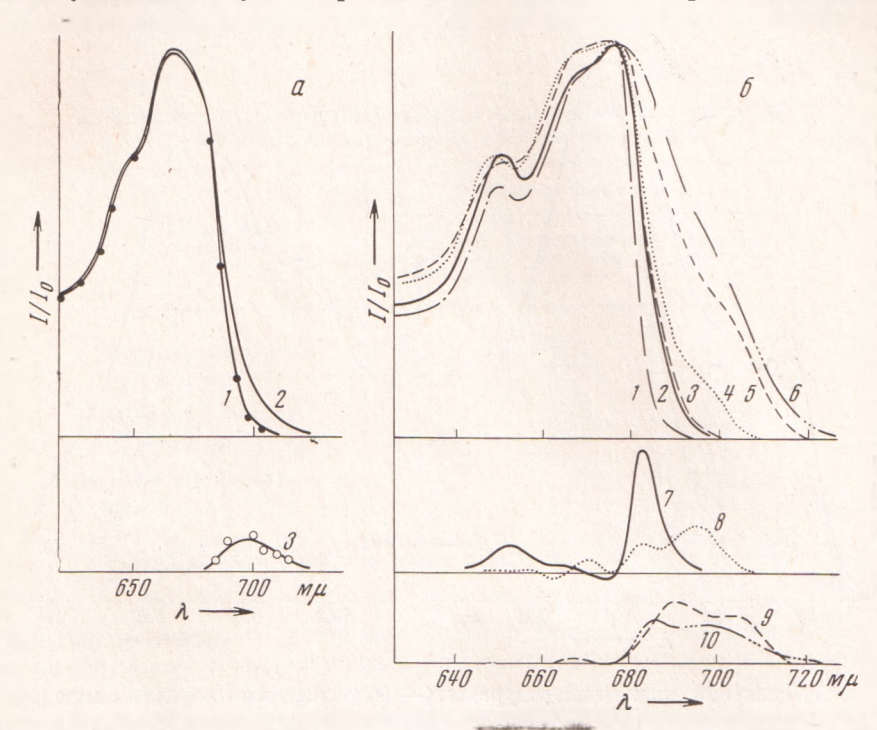


Рис. 2. Зависимость спектров возбуждения хлореллы от длины волны регистрируемой флуоресценции ($\lambda_{\text{изм}}$). a — измерение при 20° , $I-\lambda_{\text{изм}}=660\,$ мµ, $2-740\,$ мµ, 3 — разностный спектр — $2\,$ минус $I;\; 6$ — измерение при -196° , $I-\lambda_{\text{изм}}=678\,$ мµ, $2-685,\; 3-695,\; 4-705,\; 5-713,\; 6-725\,$ мµ; 7-10 — разностные спектры: $7-2\,$ минус $I,\; 8-4\,$ минус $3,\; 9-5\,$ минус $4,\; I0-6\,$ минус $5\,$

ными максимумами (слабая вторая полоса — 740 мµ — является колебательным сателлитом первой, о чем свидетельствуют аналогичные измерения растворов пигмента). Полоса у 686 мµ в спектре хлореллы довольно эффективно возбуждается даже в антистоксовой области — при λ = 700 мµ.

Более детальный анализ позволяет, однако, обнаружить еще один центр излучения. Возбуждение при λ = 686 мµ приводит к заметному изменению спектра флуоресценции, в котором проявляется новая полоса у 720 мµ. В спектре эвглены при комнатной температуре обнаруживается еще большее число полос (686, 696, 710 мµ).

б) Глубокое охлаждение (—196°) сопровождается известным эффектом возгорания длинноволновой флуоресценции и усложнением спектра. Для низкотемпературного спектра, состоящего из 3 основных полос и ряда минорных компонентов (4), зависимость от длины волны возбуждающего света начинает проявляться в еще большей мере.

При возбуждении за 676 мµ интенсивность главных полос у 686 и 695 мµ уменьшается практически до полного исчезновения (при λ = 695 мµ, рис. 16). Одновременное пропорциональное их уменьшение свидетельствует о том, что собственное поглощение центра, излучающего у 695 мµ, относительно невелико.

Интенсивность флуоресценции в области 700—715 мµ начинает падать при смещении полосы возбуждающего света в длинноволновую сторону от 680 мµ. Исходя из сравнения обычных и разностных спектров (рис. 16) удается вычленить полосы у 704 и 713 мµ, отмечавшиеся ранее на производных спектрах (7).

Интерпретация главной полосы в низкотемпературном спектре флуоресценции. При возбуждении за 695 мµ в спектре остается практически одна полоса (725 мµ у хлореллы), которая,

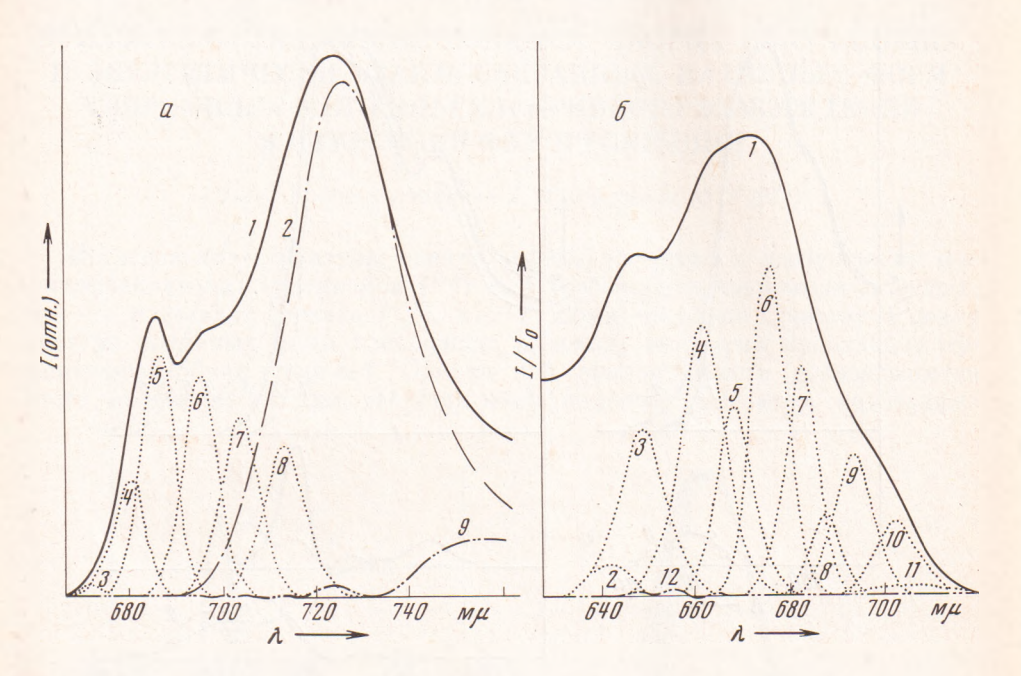


Рис. 3. Разложение низкотемпературных (—196°) спектров хлореллы в виде ряда полос нативных форм хлорофилла. a — флуоресценция: I — $\lambda_{\text{Возб}} = 640\,$ м μ , 2 — $\lambda_{\text{Возб}} = 705\,$ м μ , 3 — 8 — гауссовские кривые индивидуальных форм, 9 — спектр I минус сумма индивидуальных спектров 2 —8; δ — возбуждение: I — $\lambda_{\text{изм}} = 713\,$ м μ , 2 —II — гауссовские кривые, I2 — расхождение между спектром I и суммой кривых 2—II и их сателлитов (не приведены на рис.)

судя по коротковолновому склону, имеет гауссовскую форму и отличается необычно большой полушириной— около 30 мµ. Форма ее не зависит от длины волны возбуждения в области 695—715 мµ, а степень поляризации постоянна от 700 до 760 мµ.

Положение главной полосы низкотемпературного спектра различно у разных видов: 722 мµ у Chlamidomonas, 726 мµ у Chlorella и Anabena, 732 мµ у Nostoc, 736—739 мµ у Phaseolus. В спектре эвглены она, по-видимому, состоит из двух полос (у 720 и 730 мµ), а в спектре фасоли ее положение изменяется в процессе зеленения от 725 до 738 мµ.

На длинноволновом склоне полосы был отмечен ряд «плеч» в обычных (1-6) и производных спектрах (7). Их присутствие отчасти обусловлено сателлитами главных более коротковолновых узких полос, о чем свидетельствует сходная зависимость от длины волны возбуждения (рис. 16). Однако не исключено, что некоторый вклад вносит и собственное излучение ряда форм, обнаруживаемых по поглощению в области 715—800 мµ (1).

Таким образом, при низкой температуре наблюдается излучение основных центров с главными максимумами: 680, 686, 695, 704, 713, 725 и 732—738 мµ.

Зависимость спектров возбуждения от длины волны регистрируемой флуоресценции. При 20° спектр возбуждения (максимумы 650, 670 и 682 мµ) мало изменяется от длины волны излучения. Интенсивность полос в спектре возбуждения при —196° последовательно падает (начиная с самых длинноволновых) по мере того, как монохроматическая полоса регистрируемого излучения смещается от 740 до 670 мµ (рис. 26). Низкотемпературный спектр возбуждения коротковолнового излучения в области 670—680 мµ близок по форме к спектру возбуждения при компатной температуре (рис. 2), что свидетельствует о регистрации в этих условиях излучения преимущественно одного и того же центра. Существование индивидуальных спектров возбуждения (излучения) для отдельных полос доказывает, что последние принадлежат само-

Таблица 1 Относительные квантовые выходы флуоресценции и миграции энергии в хлоропластах фасоли при —196°

Поглощающая гр у ппа	Излучающая группа		
	коротковол- новая, при 670 мµ	промежуточ- ная, при 687 мµ	длинновол- новая, при 738 мµ
Коротковолновая, при 650 мµ	0 1,0	1,2	3,1
Промежуточная, при 678 мµ	9	1,0	$\frac{3,4}{1,0}$
Длинноволновая, при 700 мµ	9	0	$\frac{3,3}{1,0}$

Примечание. Цифры над чертой— выходы собственной или сенсибилизованной флуоресценции, под чертой— миграции энергии.

стоятельным центрам — нативным формам пигмента. Разложить суммарные спектры на соответствующий ряд компонентов и найти соответствие между положением спектра поглощения и излучения каждой формы удалось, используя сочетание методов производной спектрофотометрии (7) и разностных спектров (рис. 1 и 2). Спектроскопические характеристики системы нативных форм хлорофилла можно представить в виде следующего ряда * (верхняя цифра — максимум флуоресценции, нижняя — максимум поглощения): $X\pi$ b_{640}^{645} , $X\pi$ b_{648}^{653} , $X\pi_{662}^{668}$, $X\pi_{663}^{674}$, $X\pi_{676}^{689}$, $X\pi_{682}^{699}$, $X\pi_{682}^{699}$, $X\pi_{682}^{699}$, $X\pi_{682}^{702}$, $X\pi_{702}^{702}$, $X\pi_{702}^{712}$, $X\pi_{703}^{712}$, $X\pi_{703}^{732}$, $X\pi_{703}^{732}$, $X\pi_{704}^{732}$, $X\pi_{704}^{732}$, $X\pi_{705}^{732}$, $X\pi_{705}^{732}$, $X\pi_{706}^{732}$, $X\pi_{7$

Результаты анализа миграции энергии для упрощенной системы из трех групп форм (табл. 1) подтверждают качественные выводы (4, 8) о функциональном разделении форм на донорную, донорно-акцепторную и акцепторную группы.

Московский государственный университет им. М. В. Ломоносова Поступило 5 II 1973

ШИТИРОВАННАЯ ЛИТЕРАТУРА

¹ Ф. Ф. Литвин, Г. Т. Рихирева, А. А. Красновский, Биофизика, 7, 576 (1962). ² Ф. Ф. Литвин, В. А. Синещеков, А. А. Красновский, ДАН, 154, № 2, 460 (1964). ³ Ф. Ф. Литвин, В кн. Биохимия и биофизика фотосинтеза, «Наука», 1965. ⁴ Ф. Ф. Литвин, В. А. Синещеков, Биофизика, 12, № 3, 433 (1967). ⁵ F. Cho, R. Govindjee, Biochem. et biophys. acta, 216, 139 (1970). ⁶ J. S. Brown, Ann. Rev. Plant. Physiol., 23, 73 (1972). ¬ Ф. Ф. Литвин, Б. А. Гуляев, В. А. Синещеков, ДАН, 199, 1428 (1971). в Ф. Ф. Литвин, В. А. Синещеков, ДАН, 175, 1175 (1967).

^{*} К коротковолновой (донорной) группе отнесены первые четыре формы, к промежуточной (донорно-акцепторной) — следующие четыре, к длинноволновой (акцепторной) — все остальные формы.